

## ИССЛЕДОВАНИЕ ФОРМ НАХОЖДЕНИЯ ПРИРОДНЫХ ЗАГРЯЗНИТЕЛЕЙ В ПОВЕРХНОСТНЫХ ВОДАХ Р. БИРА

Р.М. Коган, Л.О. Рыжкова

Институт комплексного анализа региональных проблем ДВО РАН, г. Биробиджан

*Исследовано распределение комплексных соединений железа (III) и (II) и марганца (II) в воде р. Бира, протекающей на территории Еврейской автономной области.*

Гидросфера, в частности поверхностные воды, является естественным аккумулятором загрязнителей как природного, так и антропогенного происхождения, поступающих из атмосферы и литосфера или непосредственно сбрасываемых в водные объекты, что связано с глобальным циклом круговорота воды и с ее способностью к растворению различных веществ (твердых, жидких и газообразных) [21].

К настоящему времени сформировалось два основных способа оценки состояния водных объектов, характеризующих качество их воды: гидрохимический и гидробиологический. Для комплексной оценки качества поверхностных вод суши по гидрохимическим показателям используется «индекс загрязненности вод» (ИЗВ), который показывает суммарное превышение концентрации шести основных загрязнителей по отношению к ПДК.

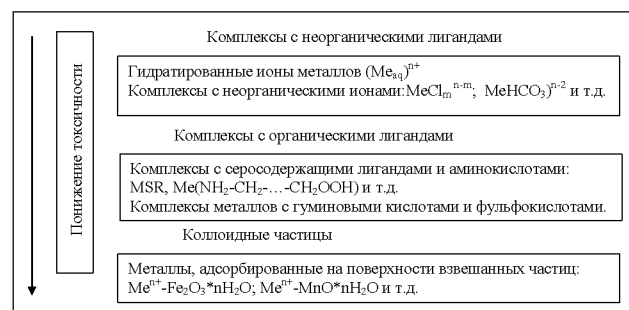
Система ПДК как единый норматив, введенный для всей территории РФ, имеет существенные недостатки, связанные с тем, что в ней не учитывается специфика функционирования водных экосистем в различных природно-климатических зонах (широтная и вертикальная зональность) и биогеохимических провинциях (естественные геохимические аномалии с различным уровнем содержания природных соединений), а значит, их токсикорезистентность. Для расчета индекса загрязнения необходимо из множества химических веществ выделить те, которые либо производятся в крупных масштабах (более 1000 кг/год), либо имеют высокую токсичность. Следовательно, не учитываются вещества, характерные для определенной геохимической провинции, что делает величины ПДК, рекомендуемые в масштабах всего государства, неприемлемыми для регионов с низким или высоким фоновым содержанием химических элементов [5, 19, 20, 22]. Для оценки качества воды поверхностных водоемов необходимо, в первую очередь, выделить характерные для нее природные загрязнители, по отношению к которым определить вклад антропогенной нагрузки. Например, одну из самых больших групп элементов химического состава природных вод, выбранных для расчета индексов загрязнения, составляют микроэлементы, их условно можно разделить на пять подгрупп: ионы тяжелых металлов ( $Cu^{2+}$ ,  $Ag^+$ ,  $Au^+$ ,  $Pb^{2+}$ ,  $Fe^{2+}$ ,  $Ni^{2+}$ ,  $Co^{2+}$  и др.); типичные катионы ( $Li^+$ ,  $Rb^+$ ,  $Cs^+$ ,  $Bc^{2+}$ ,  $Sr^{2+}$ ,  $Ba^{2+}$  и др.); амфотерные комплексообразователи ( $Cr$ ,  $Mo$ ,  $V$ ,  $Mn$ ;

типичные анионы ( $Br^-$ ,  $I^-$ ,  $F^-$ ); радиоактивные элементы. Из этой серии для поверхностных водоемов, расположенных в Буреинской геохимической провинции, например для р. Бира, для расчета ИЗВ необходимо выбрать железо и марганец [15], которые могут находиться в виде акавионов и комплексов с неорганическими и органическими лигандами, причем первые наиболее биологически активны и при определенных условиях токсичны для живых организмов (рис. 1). Кроме того, следует оценить вклад отдельных форм, отличающихся экоксикологическими свойствами, в общее загрязнение.

Целью работы является исследование форм нахождения железа и марганца в воде р. Бира (левобережного притока Амура), протекающей на территории Еврейской автономной области (ЕАО), для определения ее экологического состояния.

### Методы исследования

Аналитическое определение существующих форм тяжелых металлов (ТМ) в природных водах остается сложной задачей, прежде всего из-за многокомпонентности объекта исследования, а также вследствие низких концентраций металлов, наличия так называемого «фонового» электролита и органических соединений: гумусовых и фульвокислот, белков, углеводов, полисахаридов и других. Причем ионы металлов в водоеме не только вступают в реакции с разнообразными неорганическими и органическими лигандами, но взаимодействуют с коллоидными частицами, взвесями, донными отложениями и ассилируются живыми организмами [11]. Кроме того, большинство методик, в том числе и арбитражных, позволяю-



*Рис. 1. Характеристика степени токсичности тяжелых металлов в зависимости от форм их существования в поверхностных водах [1]*

ют определять только общее содержание металлов, которое характеризует уровень загрязнения водоема, но не отражают эколого-токсикологическую ситуацию.

Учитывая сложность задачи и ограниченный круг аналитических определений, пригодных для ее выполнения, в настоящее время предложено использовать расчетные методы, базирующиеся на использовании констант устойчивости комплексных соединений металлов, растворимости малорастворимых соединений и сведений о концентрации комплексообразующих лигандов в водном объекте [12].

Расчет распределения ТМ между существующими формами основан на методе материального баланса:

$$C_M = [M^{m+}]^+ + \sum_1^n [ML]_n , \quad (1)$$

где  $C_M$  – суммарная концентрация растворимых форм металлов;  $[M^{m+}]$  – концентрация ионов металла, не связанных в комплексные соединения;  $[ML]_n$  – концентрация комплексных соединений металла с лигандами [12].

Мольная доля свободных ионов ( $a_{[M^{m+}]}$ ) может быть рассчитана по следующим уравнениям:

$$\alpha_{[M^{m+}]} = \frac{1}{\Phi} \cdot 100 , \quad (2)$$

$$\Phi = 1 + \beta_1[L_1] + \beta_2[L_1]^2 \dots + \beta_1[L_2] + \beta_2[L_2]^2 \dots + \\ + \beta_1[L_n] + \beta_2[L_n]^2 \dots + \beta_n[L_n]^n , \quad (3)$$

где  $\beta_n$  – константа устойчивости комплексного соединения  $[ML]_n$ ;  $\Phi$  – функция Фронеуса,  $L_n$  – концентрация комплексообразующих лигандов.

Мольная доля каждого комплексного соединения металла ( $a_{[ML]_n}$ ) может быть определена делением соответствующего ей в  $n[L_n]^n$  на функцию Фронеуса:

$$\alpha_{[ML]_n} = \frac{\beta_n[L_n]^n}{\Phi} \cdot 100 . \quad (4)$$

Схемы образования комплексных соединений и соответствующие им константы устойчивости ( $I_{gb}$ ) представлены в табл. 2 и 3.

Среднегодовые концентрации лигандов ( $L_n$ ) и ТМ в р. Бира на территории г. Биробиджана приведены в табл. 1.

Содержание ионов  $H^+$  и  $OH^-$  рассчитано исходя из ионного произведения воды ( $K_w$ ):

$$K_w = [H^+] \cdot [OH^-] , \quad (5)$$

$$[H^+] = 10^{-pH} , \quad (6)$$

$$[OH^-] = 10^{-pOH} . \quad (7)$$

### Основные результаты

Источниками неорганических соединений в поверхностных водах являются процессы химического выветривания горных пород, сопровождающиеся их механическим разрушением и растворением, а также сброс недостаточно очищенных сточных вод [18].

На территории ЕАО расположен Хинганский рудный район, в пределах которого выявлено 37 месторождений со значительными запасами железа и марганца. Преимущественно развиты железистые кварциты: гематитовые ( $Fe_2O_3$ ), магнетитовые ( $Fe_2O_3 * FeO$ ), магнетит-гематито-

вые, окисно-браунитовые ( $Mn_2O_3 * nSiO_2$ ), окисно-карбонатные (родохрозит  $MnCO_3$ ), гаусманитовые ( $MnO * Mn_2O_3$ ), а также окисные и полуокисные руды с псиломеланом ( $mMnO * MnO_2 * nH_2O$ ), пиролюзитом ( $MnO_2$ ) и лимонитом ( $FeOOH$ ) [14].

В процессе взаимодействия с содержащимися в природных водах минеральными и органическими веществами образуется сложный комплекс соединений, находящихся в растворенном, коллоидном и взвешенном состоянии. В зависимости от концентрации ионов водорода (pH), окислительно-восстановительного потенциала (Eh) и наличия анионов ТМ могут существовать в различной степени окисления, входить в состав разнообразных неорганических и металлогорганических соединений, быть истинно растворенными, коллоидно-дисперсными или входить в состав минеральных или органических взвесей [18]. Так, в результате химического и биохимического окисления  $Fe(II)$  переходит в  $Fe(III)$ , основной формой нахождения которого в водах являются комплексные соединения с растворенными неорганическими и органическими соединениями. Для них характерна склонность к образованию гидроксокомплексов типа  $[Fe(OH)]^+$ ,  $[Fe_2(OH)_2]^{4+}$ ,  $[Fe(OH)_3]$ ,  $[Fe(OH)_4]^-$ ,  $[Fe(OH)]^0$  и других, существующих в растворе в разных концентрациях в зависимости от pH и в целом определяющих состояние системы железо-гидроксид. Марганец в поверхностные воды поступает в результате выщелачивания железомарганцевых руд и других минералов, содержащих марганец (пиролюзит, псиломелан, браунит, манганит, черная охра). Значительные количества марганца поступают в процессе разложения водных животных и растительных организмов. Главная форма миграции соединений марганца – взвеси, состав которых определяется, в свою очередь, породами, дренируемыми водами, а также коллоидные гидроксиды и сорбированные соединения. Существенное значение в миграции марганца в растворенной и коллоидной формах имеют процессы комплексообразования с неорганическими и органическими лигандами.  $Mn(II)$  образует гидроксокомплексы  $[Mn(OH)]^+$ ,  $[Mn(OH)_2]^0$ ,  $[Mn(OH)_3]^-$ ,  $[Mn(OH)_4]^{2-}$  и др., а также растворимые комплексы с сульфатами [3, 17].

Потенциальная опасность загрязнителей связана с химическими формами существования в водном растворе и их доступностью. Например, следствием образования комплексных соединений может быть увеличение суммарной концентрации металлов за счет перехода ионов в раствор из донных отложений, а также изменение мембранный проницаемости и токсичности. Из анализа литературных данных следует, что наиболее доступными для гидробионтов являются свободные гидратированные ионы металлов и их соединения с неорганическими лигандами и органическими веществами с низкой и средней молекулярной массой [2, 7, 8, 11]. Высокомолекулярные комплексные соединения металлов, по мнению ряда исследователей, биологически неактивны [10].

Для понимания факторов, которые регулируют концентрацию металла в природных водах, их химическую реакционную способность, биологическую доступность и токсичность, необходимо знать не только валовое со-

Таблица 1

## Среднегодовое содержание поллютантов в водах р. Бира

| Точки отбора проб              | рН  | Концентрация, моль/дм <sup>3</sup> *10 <sup>4</sup> |          |         |         |          |         |         |
|--------------------------------|-----|---|----------|---------|---------|----------|---------|---------|
|                                |     | Железо  | Марганец | Фториды | Аммоний | Сульфаты | Хлориды | Нитраты |
| 2007 г.                        |     |   |          |         |         |          |         |         |
| ПКиО                           | 7,2 | 0,066   | 0,005    | 0,089   | 0,122   | 0,843    | 0,714   | 0,129   |
| ул. Невская                    | 7,3 | 0,050   | 0,001    | 0,110   | 0,227   | 2,021    | 2,857   | 0,081   |
| Водозабор «Сопка»              | 7,5 | 0,090   | 0,004    | 0,010   | 0,155   | 0,013    | 0,114   | 0,226   |
| Спасательная станция           | 7,1 | 0,073   | 0,011    | 0,068   | 0,172   | 0,885    | 0,714   | 0,113   |
| Августовский водозабор         | 7,2 | 0,091   | 0,007    | 0,063   | 0,177   | 1,666    | 0,714   | 0,193   |
| Аремовский водозабор           | 7,5 | 0,086   | 0,004    | 0,068   | 0,133   | 1,062    | 0,714   | 0,226   |
| Выше сброса сточных вод с ГОСК | 7,3 | 0,084   | 0,014    | 0,073   | 0,127   | 1,125    | 0,416   | 0,226   |
| Ниже сброса сточных вод с ГОСК | 7,0 | 0,108   | 0,018    | 0,068   | 2,505   | 1,416    | 0,625   | 0,419   |
| 2008 г.                        |     |   |          |         |         |          |         |         |
| ПКиО                           | 7,2 | 0,062   | 0,007    | 0,110   | 0,211   | 2,541    | 0,416   | 0,290   |
| ул. Невская                    | 7,4 | 0,059   | 0,007    | 0,110   | 0,161   | 1,250    | 0,416   | 0,201   |
| Водозабор «Сопка»              | 7,8 | 0,066   | 0,005    | 0,268   | 0,250   | 2,255    | 0,714   | 0,137   |
| Спасательная станция           | 7,5 | 0,062   | 0,007    | 0,110   | 0,211   | 0,036    | 0,416   | 0,290   |
| Августовский водозабор         | 7,6 | 0,073   | 0,005    | 0,073   | 0,611   | 1,708    | 0,714   | 0,097   |
| Аремовский водозабор           | 7,7 | 0,069   | 0,002    | 0,157   | 0,283   | 1,708    | 0,714   | 0,129   |
| Выше сброса сточных вод с ГОСК | 7,7 | 0,036   | 0,005    | 0,115   | 0,177   | 1,947    | 0,714   | 1,725   |
| Ниже сброса сточных вод с ГОСК | 7,4 | 0,100   | 0,016    | 0,100   | 1,755   | 3,406    | 0,781   | 0,370   |
| 2009 г.                        |     |   |          |         |         |          |         |         |
| ПКиО                           | 7,6 | 0,037   | 0,010    | 0,173   | 0,300   | 2,083    | 2,914   | 0,241   |
| ул. Невская                    | 7   | 0,158   | 0,005    | 0,131   | 0,261   | 0,312    | 0,571   | 0,048   |
| Водозабор «Сопка»              | 7,6 | 0,041   | 0,016    | 0,184   | 0,222   | 1,541    | 3,142   | 0,258   |
| Спасательная станция           | 7,4 | 0,066   | 0,005    | 0,147   | 0,150   | 0,427    | 0,571   | 0,064   |
| Августовский водозабор         | 7,1 | 0,155   | 0,005    | 0,131   | 0,244   | 0,375    | 0,571   | 0,064   |
| Аремовский водозабор           | 7,4 | 0,066   | 0,004    | 0,115   | 0,172   | 0,406    | 0,714   | 0,064   |
| Выше сброса сточных вод с ГОСК | 7,4 | 0,067   | 0,000    | 0,110   | 0,177   | 0,708    | 0,742   | 0,419   |
| Ниже сброса сточных вод с ГОСК | 7,0 | 0,069   | 0,005    | 0,094   | 1,044   | 0,760    | 1,171   | 0,919   |

Примечание: ПКиО – парк Культуры и отдыха

держание, но и долю свободных и связанных форм металла, поскольку они имеют различные этиоксикологические свойства (рис. 1).

Основными загрязнителями вод р. Бира являются железо и марганец, причем концентрация железа намного выше, чем марганца (табл. 1). Максимальное содер-

жание их в воде в границах г. Биробиджана обнаружено ниже сброса сточных вод и в районе ул. Невской. Распределение ионных форм этих металлов зависит от концентрации неорганических лигандов, в основном гидроксид и сульфат ионов (табл. 2), и прочности комплексных соединений (табл. 3).

Таблица 2

## Схема образования комплексов ионов железа и марганца с гидроксидом и сульфатом ионами и расчет констант устойчивости [13]

| Реакция   | Константы устойчивости комплексов ( $\lg \beta$ )   | Реакция   | Константы устойчивости комплексов ( $\lg \beta$ )   |
|---|---|---|---|
| $\text{Fe}^{2+}$  |   | $\text{Fe}^{3+}$  |   |
| $\text{Fe}^{2+} + \text{OH}^- \leftrightarrow \text{Fe(OH)}^+$                              | $\beta_1 = [\text{Fe(OH)}^+]/[\text{Fe}^{2+}] [\text{OH}^-]$                                | $\text{Fe}_3(\text{OH})_5^{6+} + \text{OH}^- \leftrightarrow \text{Fe}_3(\text{OH})_4^{5+}$ | $\beta_6 = [\text{Fe}_3(\text{OH})_4^{5+}] / [\text{Fe}_3(\text{OH})_5^{6+}] * [\text{OH}^-]$ |
| $\text{Fe(OH)}^+ + \text{OH}^- \leftrightarrow \text{Fe(OH)}_2$                             | $\beta_2 = [\text{Fe(OH)}_2] / [\text{Fe(OH)}^+] [\text{OH}^-]$                             | $\text{Fe}^{3+} + \text{SO}_4^{2-} \leftrightarrow \text{Fe}(\text{SO}_4)^+$                | $\beta_1 = [\text{Fe}(\text{SO}_4)^+]/[\text{Fe}^{3+}] * [\text{SO}_4^{2-}]$                  |
| $\text{Fe(OH)}_2 + \text{OH}^- \leftrightarrow \text{Fe(OH)}_3$                             | $\beta_3 = [\text{Fe(OH)}_3] / [\text{Fe(OH)}_2] [\text{OH}^-]$                             | $\text{Fe}(\text{SO}_4)^+ + \text{SO}_4^{2-} \leftrightarrow \text{Fe}(\text{SO}_4)$        | $\beta_2 = [\text{Fe}(\text{SO}_4)] / [\text{Fe}(\text{SO}_4)^+] * [\text{SO}_4^{2-}]$        |
| $\text{Fe(OH)}_3 + \text{OH}^- \leftrightarrow \text{Fe(OH)}_2^{2-}$                        | $\beta_4 = [\text{Fe(OH)}_2^{2-}] / [\text{Fe(OH)}_3] [\text{OH}^-]$                        |   | $\text{Mn}^{2+}$  |
| $\text{Fe}^{2+} + \text{SO}_4^{2-} \leftrightarrow \text{Fe}(\text{SO}_4)$                  | $\beta_1 = [\text{Fe}(\text{SO}_4)] / [\text{Fe}^{2+}] * [\text{SO}_4^{2-}]$                | $\text{Mn}^{2+} + \text{OH}^- \leftrightarrow \text{Mn(OH)}^+$                              | $\beta_1 = [\text{Mn(OH)}^+]/[\text{Mn}^{2+}] * [\text{OH}^-]$                                |
| $\text{Fe}(\text{SO}_4) + \text{SO}_4^{2-} \leftrightarrow \text{Fe}(\text{SO}_4)^{2-}$     | $\beta_2 = [\text{Fe}(\text{SO}_4)^{2-}] / [\text{Fe}(\text{SO}_4)] [\text{SO}_4^{2-}]$     | $\text{Mn}(\text{OH})^+ + \text{OH}^- \leftrightarrow \text{Mn(OH)}_2$                      | $\beta_2 = [\text{Mn(OH)}_2] / [\text{Mn(OH)}^+] [\text{OH}^-]$                               |
| $\text{Fe}^{3+}$  |   | $\text{Mn}(\text{OH})_2 + \text{OH}^- \leftrightarrow \text{Mn(OH)}_3$                      | $\beta_3 = [\text{Mn(OH)}_3] / [\text{Mn(OH)}_2] [\text{OH}^-]$                               |
| $\text{Fe}^{3+} + \text{OH}^- \leftrightarrow \text{Fe(OH)}^{2+}$                           | $\beta_1 = [\text{Fe(OH)}^{2+}] / [\text{Fe}^{3+}] [\text{OH}^-]$                           | $\text{Mn}(\text{OH})_3 + \text{OH}^- \leftrightarrow \text{Mn}(\text{OH})_2^{2-}$          | $\beta_4 = [\text{Mn}(\text{OH})_2^{2-}] / [\text{Mn}(\text{OH})_3] [\text{OH}^-]$            |
| $\text{Fe(OH)}^{2+} + \text{OH}^- \leftrightarrow \text{Fe(OH)}_2^{2-}$                     | $\beta_2 = [\text{Fe(OH)}_2^{2-}] / [\text{Fe(OH)}^{2+}] [\text{OH}^-]$                     | $\text{Mn}_2^{4+} + \text{OH}^- \leftrightarrow \text{Mn}_2(\text{OH})^{3+}$                | $\beta_5 = [\text{Mn}_2(\text{OH})^{3+}] / [\text{Mn}_2^{4+}] [\text{OH}^-]$                  |
| $\text{Fe(OH)}_2^{2+} + \text{OH}^- \leftrightarrow \text{Fe(OH)}_3$                        | $\beta_3 = [\text{Fe(OH)}_3] / [\text{Fe(OH)}_2^{2+}] [\text{OH}^-]$                        | $\text{Mn}_2(\text{OH})^{2-} + \text{OH}^- \leftrightarrow \text{Mn}_2(\text{OH})_3$        | $\beta_6 = [\text{Mn}_2(\text{OH})_3] / [\text{Mn}_2(\text{OH})^{2-}] [\text{OH}^-]$          |
| $\text{Fe(OH)}_3 + \text{OH}^- \leftrightarrow \text{Fe(OH)}_4^-$                           | $\beta_4 = [\text{Fe(OH)}_4^-] / [\text{Fe(OH)}_3] [\text{OH}^-]$                           | $\text{Mn}^{2+} + \text{SO}_4^{2-} \leftrightarrow \text{Mn}(\text{SO}_4)$                  | $\beta_1 = [\text{Mn}(\text{SO}_4)] / [\text{Mn}^{2+}] * [\text{SO}_4^{2-}]$                  |
| $\text{Fe}_2(\text{OH})_5^{5+} + \text{OH}^- \leftrightarrow \text{Fe}_2(\text{OH})_4^{4+}$ | $\beta_5 = [\text{Fe}_2(\text{OH})_4^{4+}] / [\text{Fe}_2(\text{OH})_5^{5+}] [\text{OH}^-]$ | $\text{Mn}(\text{SO}_4) + \text{SO}_4^{2-} \leftrightarrow \text{Mn}(\text{SO}_4)^2$        | $\beta_2 = [\text{Mn}(\text{SO}_4)^2] / [\text{Mn}(\text{SO}_4)] * [\text{SO}_4^{2-}]$        |

Таблица 3

Значения ступенчатых констант устойчивости комплексов железа и марганца

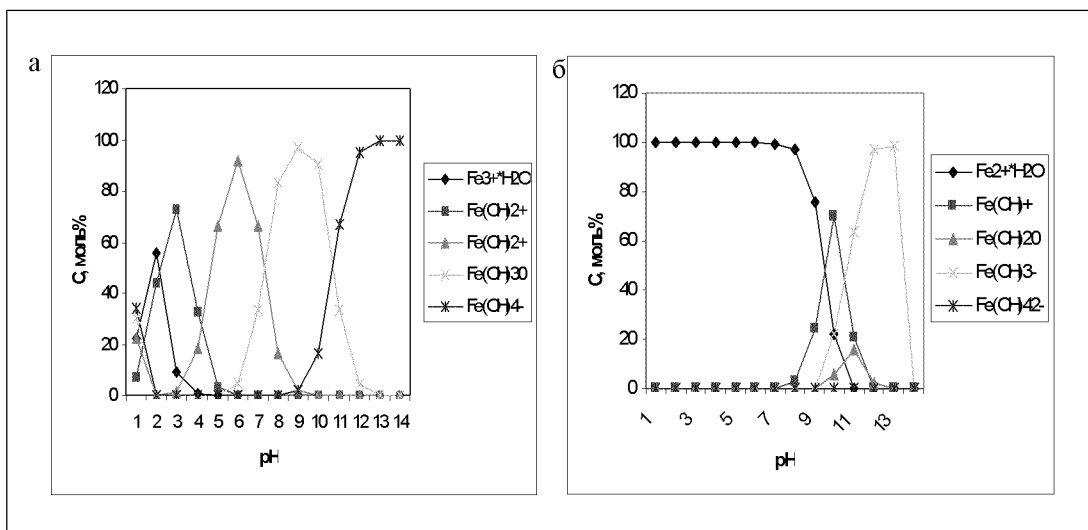
| Ион              | Комплекс                        | $\lg \beta$ | Литература | Ион              | Комплекс                        | $\lg \beta$ | Литература |
|------------------|---------------------------------|-------------|------------|------------------|---------------------------------|-------------|------------|
| $\text{Fe}^{2+}$ | $\text{Fe(OH)}^+$               | 4,50        | 16         | $\text{Fe}^{3+}$ | $\text{Fe}_3(\text{OH})_4^{5+}$ | 49,70       | 16         |
|                  | $\text{Fe(OH)}_2^0$             | 7,40        | 16         |                  | $\text{Fe(SO}_4)^+$             | 4,04        | 13         |
|                  | $\text{Fe(OH)}_3^-$             | 11,00       | 16         |                  | $\text{Fe(SO}_4)_2^-$           | 5,58        | 13         |
|                  | $\text{Fe(OH)}_4^{2-}$          | 10,00       | 16         |                  | $\text{Mn(OH)}^+$               | 3,48        | 13         |
|                  | $\text{Fe(SO}_4)_2^0$           | 2,30        | 13         |                  | $\text{Mn(OH)}_2^0$             | 5,80        | 16         |
|                  | $\text{Fe(OH)}^{2+}$            | 11,87       | 13         |                  | $\text{Mn(OH)}_3^-$             | 8,30        | 9          |
|                  | $\text{Fe(OH)}_2^+$             | 21,17       | 13         |                  | $\text{Mn(OH)}_4^{2-}$          | 7,70        | 16         |
|                  | $\text{Fe(OH)}_3^0$             | 30,67       | 9          |                  | $\text{Mn}_2(\text{OH})^{3+}$   | 3,44        | 16         |
|                  | $\text{Fe(OH)}_4^-$             | 34,40       | 16         |                  | $\text{Mn}_2(\text{OH})_3^+$    | 18,10       | 16         |
|                  | $\text{Fe}_2(\text{OH})_2^{4+}$ | 25,05       | 16         |                  | $\text{Mn}(\text{SO}_4)_2$      | 2,27        | 13         |

Расчет мольных концентраций (%) гидроксокомплексов железа и марганца выполнен в диапазоне pH от 1 до 14 (рис. 2, 3).

Как видно из рис. 2 и 3, комплексообразование исследуемых ионов металлов дифференцировано зависит от изменения кислотности. Например, железо (III) образует

ные ионы ( $\text{Fe}^{2+}$ ) практически остаются свободными и, следовательно, могут мигрировать в поверхностных водах в виде соединений с другими лигандами (табл. 4).

Таким образом, в р. Бира для железа (III) преимущественной формой миграции являются аквакомплексы  $\text{Fe}^{3+} \cdot n\text{H}_2\text{O}$ , при pH около 7 (ниже сброса сточных вод)

Рис. 2. Зависимость концентрации гидрокомплексов железа от pH: а –  $\text{Fe}^{2+}$ , б –  $\text{Fe}^{3+}$ 

аквакомплексы только в кислой среде; по мере уменьшения кислотности увеличивается концентрация всех гидроксокомплексов, достигая своего предельного для каждого соединения значения при определенном pH. Железо (II) и марганец (II) существуют в виде аквакомплексов при широком значении pH, а гидроксокомплексы могут появиться только в щелочной среде (10–13 pH). Максимальная концентрация нейтральных гидроксидов металлов также зависит от кислотности. Например, для  $\text{Fe(OH)}_3^-$  – она равно 9 pH,  $\text{Fe(OH)}_2^0$  – 12 pH,  $\text{Mn(OH)}_2^0$  – 13 pH.

В пределах значений кислотности, характерных для р. Бира, для железа (III) преобладает форма  $\text{Fe(OH)}_3^0$ , в незначительных количествах может образовываться  $\text{Fe(OH)}_4^{2-}$ , а  $\text{Fe}^{2+}$  и  $\text{Mn}^{2+} \cdot *$  существуют в основном в виде аквакомплексов (рис. 4).

Расчет мольных долей (%) сульфатов, находящихся в равновесии с ионами металлов, в интервале концентраций, приведенных в табл. 4, показывает, что железо (III) может находиться как в виде свободных ионов, так и в виде моно- и бикомплексов, в то время как двухвалент-

возможно появление и выпадение нейтральных гидроксидов  $\text{Fe(OH)}_3^-$ ; кроме того, во всех точках отбора проб возможно образование метастабильной формы  $\text{Fe}(\text{SO}_4)^+$ . Двухвалентные ионы железа и марганца образуют в основном аквакомплексы.

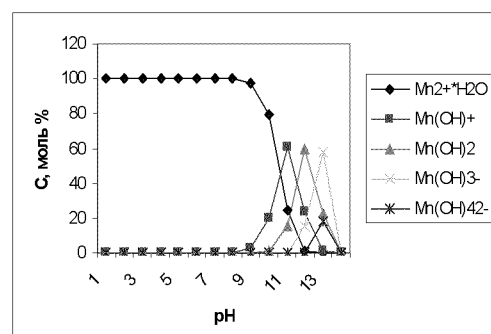


Рис. 3. Зависимость концентрации гидрокомплексов марганца (II) от pH

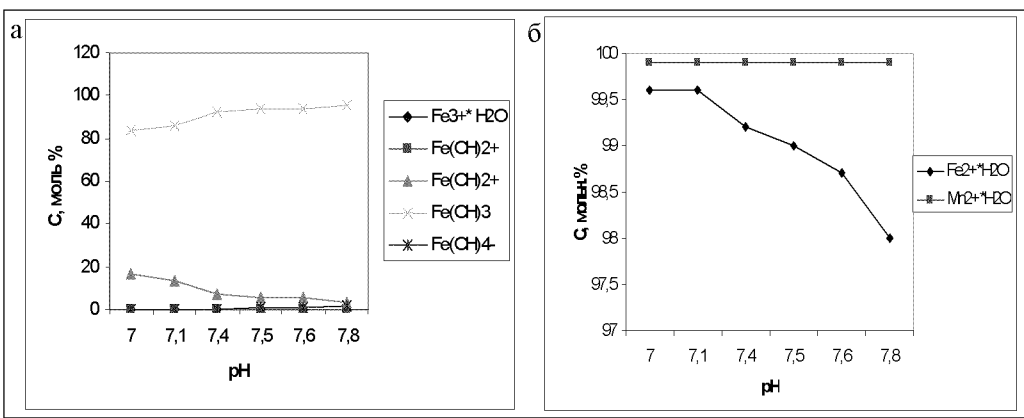


Рис.4. Содержание гидроксокомплексов металлов в р. Бира: а – железа (III), б – железа (II) и марганца (II)

Следовательно, на формирование экотоксикологической ситуации в р. Бира может влиять гидроксид железа (III), который оказывает вредное воздействие на мальков

Таблица 4

Мольные доли сульфатов, находящихся в равновесии с железом (II) и (III) и марганцем (II), (%)

| $\text{SO}_4^{2-}$ ,<br>моль/дм <sup>3</sup> · 10 <sup>4</sup> | $\text{Fe}^{3+}$ | $\text{Fe}(\text{SO}_4)^+$ | $\text{Fe}(\text{SO}_4)_2^-$ | $\text{Fe}^{2+}$ | $\text{Fe}(\text{SO}_4)_2$ | $\text{Mn}^{2+}$ | $\text{Mn}(\text{SO}_4)$ |
|--|------------------|----------------------------|------------------------------|------------------|----------------------------|------------------|--------------------------|
| 0,5  | 66,5             | 33,3                       | 0                            | 99,0             | 1,0                        | 99,0             | 1,0                      |
| 1,0  | 49,9             | 49,9                       | 0                            | 98,0             | 2,0                        | 98,0             | 2,0                      |
| 1,5  | 38,6             | 61,2                       | 0                            | 96,9             | 3,0                        | 96,9             | 3,0                      |
| 2,0  | 33,3             | 66,5                       | 0                            | 96,1             | 3,8                        | 96,1             | 3,8                      |
| 2,5  | 28,4             | 71,3                       | 0                            | 95,2             | 4,8                        | 95,2             | 4,8                      |
| 3,0  | 23,9             | 75,4                       | 0,3                          | 94,0             | 5,9                        | 94,0             | 5,9                      |
| 4,0  | 19,9             | 79,6                       | 0,4                          | 92,6             | 7,3                        | 92,6             | 7,3                      |

рыб, осаждаясь на жабрах, и растворимые комплексы железа и марганца, обладающие раздражающими, мутагенными и канцерогенными свойствами, поражающие центральную нервную систему [5].

#### ЛИТЕРАТУРА:

- Будников Г.К. Тяжелые металлы в экологическом мониторинге водных экосистем // Соросовский образовательный журнал. 1998. № 5. С. 23–29.
- Варшал Г.М., Вельюханова Т.К., Кощеева И.Я., Дорofеева В.А. и др. Изучение химических форм элементов в поверхностных водах // Журнал аналитической химии. 1983. № 38. С. 159–160.
- Вредные химические вещества. Неорганические соединения V–VIII групп: справ. изд. / под ред. В.А. Филова и др. Л.: «Химия», 1989. 203 с.
- Дмитриев В.В., Фрумин Г.Т. Экологическое нормирование и устойчивость природных систем. СПб.: СПбГУ, РГГМУ, 2004. 294 с.
- Коган Р.М. Антропогенные загрязнители территории Еврейской автономной области. Владивосток: Дальнаука, 2001. 165 с.
- Кочарян А.Г. Формы существования тяжелых металлов в водах, донных отложениях и высшей водной растительности водохранилищ Волжского каскада // В кн.: Актуальные проблемы рационального использо-  
зования биологических ресурсов водохранилищ. Рыбинск: Изд-во ОАО «Рыбинский дом печати», 2005. С. 151–161.
- Леонова Г.А., Богуш А.А., Бобров В.А., Булычева Т.М. и др. Химические формы тяжелых металлов в воде Новосибирского водохранилища: оценка их биодоступности и потенциальной экологической опасности для планктона // Химия в интересах устойчивого развития. 2006. № 5. С. 453–465.
- Леонова Г.А., Богуш А.А., Бычинский В.А., Бобров В.А. Оценка биодоступности и потенциальной опасности химических форм тяжелых металлов в экосистеме озера Большое Яровое (Алтайский край) // Экологическая химия. 2007. 16(1). С. 18–28.
- Лидин Р.А., Андреева Л.П., Молочко В.А. Справочник по неорганической химии. Константы неорганических веществ. М.: Химия, 1987. 320 с.
- Линник П. Н., Набиванец Б. И. Комплексообразование ионов металлов в природных водах // Гидробиологический журнал. 1983. № 19. С. 83–95.
- Линник П.Н., Набиванец Б.И. Формы миграции металлов в пресных поверхностных водах. Л.: Гидрометеиздат, 1986. 270 с.
- Линник П.П., Запорожец О.А. Сравнительная оценка расчетных и экспериментальных данных о существующих формах железа, кобальта и никеля в пресных поверхностных водах // Экологическая химия. 2003. 12(2). С. 79–92.
- Лурье Ю.Ю. Справочник по аналитической химии. М.: Химия, 1979. 480 с.
- Онихимовский В.В., Беломестных Ю.С. Полезные ископаемые Хабаровского края (перспективные для освоения месторождения и проявления). Хабаровск: Хабаровская краевая типография, 1996. 484 с.
- Перельман А.И. Взаимосвязь учения о биохимических провинциях и геохимии ландшафтов // Проблемы геохимии и геохимической экологии. Труды биогеохимической лаборатории. М.: Наука, 1998. С. 115–133.
- Пестриков С.В., Исаева О. Ю., Сапожников Е.Н., Набиев А.Т., Астахова В.Л. и др. Упрощенный термодинамический расчет эффективности гидроксидного метода удаления ионов тяжелых металлов из сточных вод // Фундаментальные исследования. 2004. № 5. С. 49–53.

17. Руководство по химическому анализу поверхностных вод суши / под ред. А.Д. Семенова. Л.: Гидрометеоиздат. 1977. 380 с.
18. Скуратов Ю.И., Дука Г.Г., Мизити А. Введение в экологическую химию. М.: Высшая школа, 1994. 390 с.
19. Форощук В.П. Водоохранная деятельность и экологическое нормирование качества водной среды // Гидробиологический журнал. 1986. № 1. С. 36–41.
20. Фрумин Г.Т., Жаворонкова Е.И. Оценка состояния водных объектов и экологическое нормирование. СПб.: Изд-во Синтез, 1998. 96 с.
21. Фрумкин Г. Т. Экологическая химия и экологическая токсикология: учеб. пособие. СПб.: РГГМУ, 2002. 204 с.
22. Фрумкин Г.Т., Жаворонкова Е.И. Токсичность и риск воздействия металлов на гидробионты // Экологическая химия. 2003. № 12(2). С. 93–96.

*The article deals with a distribution of complex compounds of iron (III) and (II) and manganese (II) in the Bira-river, which is running across the territory of the Jewish autonomous region.*